

2次元小規模河床波の発生・発達に関する実験的研究

防衛大学校土木工学科教室
防衛大学校土木工学科教室

学生会員 首藤 誠志、植松 正伸
正会員 山田 正、池内 正幸

はじめに 小規模河床波に関する研究は従来多くの研究者によって精力的に進められてきたが、その発生、発達の物理機構は未だ十分明解されていないのが現状であろう。このような観点から著者らは文献①において、2次元小規模河床波に関して理論解析を行っており、河床波の高さ(η) \times に關して式を得ている。

$$\frac{\partial \eta}{\partial t} + m(1+2\eta) \frac{\partial \eta}{\partial x} + (\alpha - m^2_h)(1+2\eta) \frac{\partial^2 \eta}{\partial x^2} + \left(\frac{1}{2} \left(\frac{\delta}{\lambda} \right) m(1+2\eta) - \alpha \left(\frac{\delta}{\lambda} \right) \right) \frac{\partial^3 \eta}{\partial x^3} + \frac{1}{2} \alpha \left(\frac{\delta}{\lambda} \right)^2 \frac{\partial^4 \eta}{\partial x^4} = G(\eta) \cdots (1)$$

ここに、 x ：流れ方向座標、 δ ：流砂の遅れ距離、 α ：林の導入係数である。この理論により、河床波を発生させ、成長させる要因が α 、すなわち河床形状と河床剪断应力との位相差であり、一方、減衰させる要因が流砂の遅れ距離 δ になっていることが一見して理解できる。さらに(1)式より、発生初期に現れるいわゆる卓越波長が

$$\lambda_{max} \approx 6000d (d: 砂粒子の粒径) \cdots \cdots (2)$$

この著者らの理論に対して本研究は2次元小規模河床波の発生、発達を実験的に明らかにすることを目的としたものであり、以下に示す項目につき検討を行っている。

(1) 種々の初期河床形状を与えて、以後の河床の変形状況を見る。

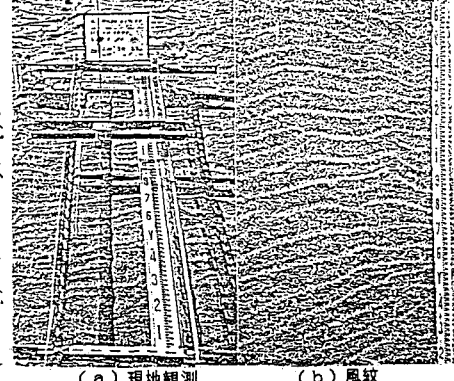
(2) 水路実験、風洞実験、現地観測を行って、水流及び空気流の違いが河床波形に与える影響を見る。

2 実験装置、実験方法及び実験条件 実験に用いた水路は長さ5m、幅2.5m、深さ20cmの可変勾配開水路である。実験に用いた砂

は豊浦産標準砂である。水深及び河床形状は可動超音波測定器で測定し、さらに写真撮影によって移動床の時間的变化を追跡した。風洞実験に用いた風洞は長さ5.5m、幅40cm、深さ39cmである。風速はベッソ型マノメータ及び1mmのピトー管で測定し、河床波形はポイントゲージで5mmおきに測定した。用いた砂は豊浦産標準砂及び野比海岸で採取した砂の2種類である(図1)。風紋の現地観測は、神奈川県横須賀市野比海岸にて行った。風速は回転風速計、波高は風紋の移動のない風の弱い日にポイントゲージにて測定(写真1)した。水路には通水開始前にあらかじめ初期の河床形状を与えており(図2)。以後、初期河床形状として与えた正弦波の振幅及び波長を初期振幅及び初期波長と呼ぶ。このときの実験条件を表1に示す。

3 実験結果及び考察 CASE 1: 規則的な河床波が発生するものと波長が分布する不規則河床形状を呈するものの2種類が現れた。

CASE 2: 著者らの理論より与えられる卓越波長(2)式より短かい初期河床形状を与えた場合には約1分後にほぼ平坦となり、2分後には初期波形と砂渾が混ったような不規則波形が現れた。4分30秒後には波長は6cmへ9cmとばらつきはあるものの1波/波は前傾した形へ整った河床形状を呈した(写真2)。(2)式で与えられる卓越波長と



(a) 現地観測 (b) 風紋

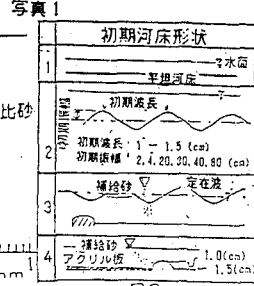


図1 粒径加積曲線

表1 実験条件

CASE	勾配	水深	済曲	遅れ	Fr	波長	平均流速	波高
		(cm)	! / s	(cm/s)		(cm)	(cm/s)	(cm)
1	0.0150	7.50	0.555	0.1155E-2	0.1667	8.20	0.30E-2	2.25
2	0.0100	5.80	0.560	0.1155E-2	0.4222	4.70	0.30E-2	2.27
3	0.0100	5.20	0.560	0.1155E-2	0.4222	4.70	0.30E-2	2.27
4	0.0100	4.20	0.580	0.1155E-2	0.5625	3.50	0.30E-2	3.07
5	0.0100	5.45	0.560	0.1447E-2	0.2377	3.30	0.11E-2	1.20
6	0.0100	5.75	0.520	0.1447E-2	0.2377	5.72	0.32E-2	4.20
7	0.0100	5.75	0.520	0.1447E-2	0.2377	5.72	0.32E-2	4.20
8	0.0050	5.80	0.545	0.2435E-2	0.5800	15.50	0.20E-2	2.05
9	0.0050	5.80	0.545	0.2435E-2	0.5800	3.00	0.15E-2	1.25
10	0.0050	5.80	0.545	0.2435E-2	0.5800	4.25	0.15E-2	2.11
11	0.0050	5.80	0.545	0.2435E-2	0.5800	5.00	0.15E-2	2.11
12	0.0050	5.80	0.545	0.2435E-2	0.5800	6.25	0.15E-2	2.11
13	0.0050	5.80	0.545	0.2435E-2	0.5800	7.50	0.15E-2	2.11
14	0.0050	5.80	0.545	0.2435E-2	0.5800	8.75	0.15E-2	2.11
15	0.0050	5.80	0.545	0.2435E-2	0.5800	10.00	0.15E-2	2.11
16	0.0050	5.80	0.545	0.2435E-2	0.5800	11.25	0.15E-2	2.11
17	0.0050	5.80	0.545	0.2435E-2	0.5800	12.50	0.15E-2	2.11
18	0.0050	5.80	0.545	0.2435E-2	0.5800	13.75	0.15E-2	2.11
19	0.0050	5.80	0.545	0.2435E-2	0.5800	15.00	0.15E-2	2.11
20	0.0050	5.80	0.545	0.2435E-2	0.5800	16.25	0.15E-2	2.11
21	0.0050	5.80	0.545	0.2435E-2	0.5800	17.50	0.15E-2	2.11
22	0.0050	5.80	0.545	0.2435E-2	0.5800	18.75	0.15E-2	2.11
23	0.0050	5.80	0.545	0.2435E-2	0.5800	20.00	0.15E-2	2.11
24	0.0050	5.80	0.545	0.2435E-2	0.5800	21.25	0.15E-2	2.11
25	0.0050	5.80	0.545	0.2435E-2	0.5800	22.50	0.15E-2	2.11
26	0.0050	5.80	0.545	0.2435E-2	0.5800	23.75	0.15E-2	2.11
27	0.0050	5.80	0.545	0.2435E-2	0.5800	25.00	0.15E-2	2.11
28	0.0050	5.80	0.545	0.2435E-2	0.5800	26.25	0.15E-2	2.11
29	0.0050	5.80	0.545	0.2435E-2	0.5800	27.50	0.15E-2	2.11
30	0.0050	5.80	0.545	0.2435E-2	0.5800	28.75	0.15E-2	2.11
31	0.0050	5.80	0.545	0.2435E-2	0.5800	30.00	0.15E-2	2.11
32	0.0050	5.80	0.545	0.2435E-2	0.5800	31.25	0.15E-2	2.11
33	0.0050	5.80	0.545	0.2435E-2	0.5800	32.50	0.15E-2	2.11
34	0.0050	5.80	0.545	0.2435E-2	0.5800	33.75	0.15E-2	2.11
35	0.0050	5.80	0.545	0.2435E-2	0.5800	35.00	0.15E-2	2.11
36	0.0050	5.80	0.545	0.2435E-2	0.5800	36.25	0.15E-2	2.11
37	0.0050	5.80	0.545	0.2435E-2	0.5800	37.50	0.15E-2	2.11
38	0.0050	5.80	0.545	0.2435E-2	0.5800	38.75	0.15E-2	2.11
39	0.0050	5.80	0.545	0.2435E-2	0.5800	40.00	0.15E-2	2.11
40	0.0050	5.80	0.545	0.2435E-2	0.5800	41.25	0.15E-2	2.11
41	0.0050	5.80	0.545	0.2435E-2	0.5800	42.50	0.15E-2	2.11
42	0.0050	5.80	0.545	0.2435E-2	0.5800	43.75	0.15E-2	2.11
43	0.0050	5.80	0.545	0.2435E-2	0.5800	45.00	0.15E-2	2.11
44	0.0050	5.80	0.545	0.2435E-2	0.5800	46.25	0.15E-2	2.11
45	0.0050	5.80	0.545	0.2435E-2	0.5800	47.50	0.15E-2	2.11
46	0.0050	5.80	0.545	0.2435E-2	0.5800	48.75	0.15E-2	2.11
47	0.0050	5.80	0.545	0.2435E-2	0.5800	50.00	0.15E-2	2.11
48	0.0050	5.80	0.545	0.2435E-2	0.5800	51.25	0.15E-2	2.11
49	0.0050	5.80	0.545	0.2435E-2	0.5800	52.50	0.15E-2	2.11
50	0.0050	5.80	0.545	0.2435E-2	0.5800	53.75	0.15E-2	2.11
51	0.0050	5.80	0.545	0.2435E-2	0.5800	55.00	0.15E-2	2.11
52	0.0050	5.80	0.545	0.2435E-2	0.5800	56.25	0.15E-2	2.11
53	0.0050	5.80	0.545	0.2435E-2	0.5800	57.50	0.15E-2	2.11
54	0.0050	5.80	0.545	0.2435E-2	0.5800	58.75	0.15E-2	2.11
55	0.0050	5.80	0.545	0.2435E-2	0.5800	60.00	0.15E-2	2.11
56	0.0050	5.80	0.545	0.2435E-2	0.5800	61.25	0.15E-2	2.11
57	0.0050	5.80	0.545	0.2435E-2	0.5800	62.50	0.15E-2	2.11
58	0.0050	5.80	0.545	0.2435E-2	0.5800	63.75	0.15E-2	2.11
59	0.0050	5.80	0.545	0.2435E-2	0.5800	65.00	0.15E-2	2.11
60	0.0050	5.80	0.545	0.2435E-2	0.5800	66.25	0.15E-2	2.11
61	0.0050	5.80	0.545	0.2435E-2	0.5800	67.50	0.15E-2	2.11
62	0.0050	5.80	0.545	0.2435E-2	0.5800	68.75	0.15E-2	2.11
63	0.0050	5.80	0.545	0.2435E-2	0.5800	70.00	0.15E-2	2.11
64	0.0050	5.80	0.545	0.2435E-2	0.5800	71.25	0.15E-2	2.11
65	0.0050	5.80	0.545	0.2435E-2	0.5800	72.50	0.15E-2	2.11
66	0.0050	5.80	0.545	0.2435E-2	0.5800	73.75	0.15E-2	2.11
67	0.0050	5.80	0.545	0.2435E-2	0.5800	75.00	0.15E-2	2.11
68	0.0050	5.80	0.545	0.2435E-2	0.5800	76.25	0.15E-2	2.11
69	0.0050	5.80	0.545	0.2435E-2	0.5800	77.50	0.15E-2	2.11
70	0.0050	5.80	0.545	0.2435E-2	0.5800	78.75	0.15E-2	2.11
71	0.0050	5.80	0.545	0.2435E-2	0.5800	80.00	0.15E-2	2.11
72	0.0050	5.80	0.545	0.2435E-2	0.5800	81.25	0.15E-2	2.11
73	0.0050	5.80	0.545	0.2435E-2	0.5800	82.50	0.15E-2	2.11
74	0.0050	5.80	0.545	0.2435E-2	0.5800	83.75	0.15E-2	2.11
75	0.0050	5.80	0.545	0.2435E-2	0.5800	85.00	0.15E-2	2.11
76	0.0050	5.80	0.545	0.2435E-2	0.5800	86.25	0.15E-2	2.11
77	0.0050	5.80	0.545	0.2435E-2	0.5800	87.50	0.15E-2	2.11
78	0.0050	5.80	0.545	0.2435E-2	0.5800	88.75	0.15E-2	2.11
79	0.0050	5.80	0.545	0.2435E-2	0.5800	90.00	0.15E-2	2.11
80	0.0050	5.80	0.545	0.2435E-2	0.5800	91.25	0.15E-2	2.11
81	0.0050	5.80	0.545	0.2435E-2	0.5800	92.50	0.15E-2	2.11
82	0.0050	5.80	0.545	0.2435E-2	0.5800	93.75	0.15E-2	2.11
83	0.0050	5.80	0.545	0.2435E-2	0.5800	95.00	0.15E-2	2.11
84	0.0050	5.80	0.545	0.2435E-2	0.5800	96.25	0.15E-2	2.11
85	0.0050	5.80	0.545	0.2435E-2	0.5800	97.50	0.15E-2	2.11
86	0.0050	5.80	0.545	0.2435E-2	0.5800	98.75	0.15E-2	2.11
87	0.0050	5.80	0.545	0.2435E-2	0.5800	100.00	0.15E-2	2.11

同じ12cmの場合、初期波形はそのまま前傾化し三角形状となつたが、この波長以外には新たな砂連は現れなかつた。(2)式の卓越波長より長い初期波長40cmを与えた場合、僅か15秒で初期波形の上に砂連ができる時間が経つと底の部分の砂連は消えた。初期波長80cmの場合、1分30秒後に1つの峰下流側9cm、11cm、11cmの波長をもつ3つの砂連ができる7分後には不規則な河床形状を呈した。CASE 3:水面に定在波を与えた場合、河床には定在波と同じ波長の砂堆が現れた。CASE 4: 単一凸面を初期河床形状として与えた場合、峰の下流側に砂連ができる。開水路流れでは十分時間が経つと波長の異なる混沌とした河床形状が現れるのに対して風洞実験では開水路流れに見られた河床波の後にできる剝離は現れず、かつ各波形が前傾化せず20分後においても砂連はS形形状に近く、境界層厚さとほぼ同じ波長をもつ河床形状を呈した。現地観測による風紋の波形と現地の砂を用いて行った波形もほぼ同じ形状(図3)を呈した。写真2 卓越波長より短い初期波長を与えた場合

上記の実験結果を整理すると、

(1) 波長の伸長 ①上流側からの流砂が止つた時。②上流側から河床波が移動して来ない時(CASE 4)。③砂連と砂堆が共存し、砂連と砂堆の波速が異なるとき。④局所的な摩擦速度が異なる時(CASE 2)。

(2) 波長と波速の関係 同じ水理条件のもとでは波長の短かいものほど波速は速い(図4)。

(3) 境界層と波長の関係 剥離のない風洞実験における砂連は境界層厚さとほぼ同じ長さの波長をもち、かつ(2)式の理論解析の結果と同程度の波長をもつ(図5)。

(4) 砂連の発生条件 ①砂連は水面の領域で発生し、粗面ではできない。②水面に定在波があり、この定在波の波長が砂連の卓越波長より短かい場合には定在波によりできる河床形状より砂連が卓越する。定在波の影響により形成された砂堆の発達過程においては砂連はできない。③砂連が砂堆の上にできる場合は砂堆が平衡状態に達し、砂堆がCASE 2の初期河床形状のように河川の歴史と同じ意味を持つ場合である。④種々の実験条件下において砂連波長をHannattyら(3)によつてまとめられた固定床波形の波長と底面剪断応力の位相差を示す図上にプロットすると位相差を最大(80°)とする波長近傍において砂連は発生していることがわかる。以上の結果が得られた。

4 おわりに 本研究により、砂連の発生発達に与える河床の歴史的結果を明らかにした。さらに水流と空気流の違いより(1)式は剥離のない空気流によってできる砂連の発生、発達をよく表現しており、空気流の場合理論的に得ている $L_{max} \approx 2\pi R$ なる関係を確認した。謝辞: 本研究の遂行にあたり著者の一人(山田)は文部省科学研究費試験研究(研究代表、吉川秀夫早大教授)より補助を得ている。ここに記して深甚なる謝意を表す。

5 参考文献 ①山田正、池内正幸、重村利幸: 小規模河床波を支配する基礎方程式の導出とその特性、第40回年次学術講演会、S 60. 9 ② Hayashi, T: Proc. ASCE, Vol. 96, NO. HY2, PP. 431~439, 1970 ③ Hannatty, T.S: JOURNAL OF FLUID MECHANICS, VOL 151, PP. 443~445, 1985

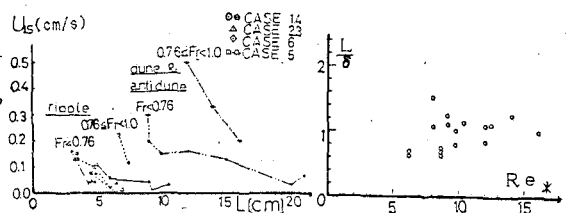
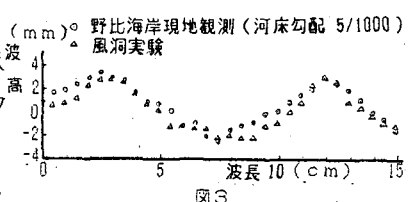
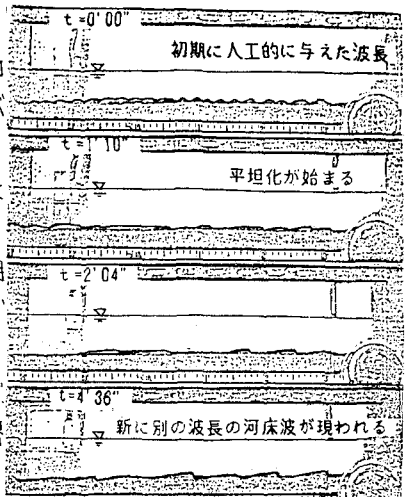


図4. 波長と実波速の関係

図5 境界層と粒子レイノルズ数

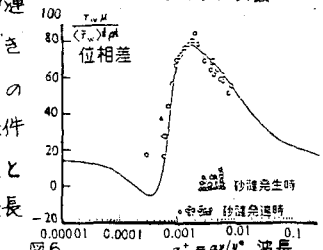


図6 せん断応力による位相差と波長の関係